

Redes Neurais Bayesianas Hierárquicas Estocásticas: Uma Nova Abordagem para Quantificação de Incertezas e Adaptabilidade de Modelos

Luiz Tiago Wilcke

24 de dezembro de 2024

Resumo

As Redes Neurais têm se destacado em diversas aplicações de inteligência artificial devido à sua capacidade de modelagem e aprendizado a partir de grandes volumes de dados. No entanto, a quantificação de incertezas e a adaptabilidade a diferentes contextos permanecem desafios significativos. Este artigo introduz as Redes Neurais Bayesianas Hierárquicas Estocásticas (SHBNNs - Stochastic Hierarchical Bayesian Neural Networks), um novo modelo que integra estruturas hierárquicas bayesianas com componentes estocásticos para melhorar a quantificação de incertezas e a flexibilidade adaptativa. Exploramos os fundamentos teóricos das SHBNNs, apresentamos suas formulações matemáticas avançadas e discutimos propriedades fundamentais. Além disso, demonstramos como as SHBNNs podem ser aplicadas em tarefas complexas, como previsão de séries temporais e detecção de anomalias, evidenciando seu potencial em superar limitações dos modelos neurais tradicionais.

1 Introdução

As Redes Neurais Artificiais (RNAs) têm revolucionado campos como reconhecimento de imagem, processamento de linguagem natural e sistemas de recomendação, graças à sua capacidade de capturar padrões complexos a partir de dados. No entanto, a natureza determinística das RNAs tradicionais limita sua capacidade de quantificar incertezas inerentes às previsões, o que é crucial para aplicações críticas como diagnósticos médicos e sistemas de controle autônomo [1].

Modelos bayesianos oferecem uma abordagem robusta para incorporar incertezas nas previsões, permitindo uma representação probabilística das crenças sobre os parâmetros do modelo. Redes Neurais Bayesianas (BNNs) combinam a flexibilidade das RNAs com a rigidez das inferências bayesianas, proporcionando melhores estimativas de incerteza [2]. No entanto, as BNNs tradicionais enfrentam desafios em termos de escalabilidade e expressividade, especialmente em arquiteturas profundas.

Este artigo propõe uma nova arquitetura denominada Redes Neurais Bayesianas Hierárquicas Estocásticas (SHBNNs), que introduz componentes hierárquicos e estocásticos para aprimorar a quantificação de incertezas e a adaptabilidade dos modelos. A seguir, detalhamos os fundamentos teóricos, a formulação matemática e as propriedades das SHBNNs, além de discutir suas aplicações práticas e vantagens sobre os modelos existentes.

2 Fundamentos das Redes Neurais Bayesianas Hierárquicas Estocásticas (SHBNNs)

2.1 Definição

As SHBNNs são uma extensão das Redes Neurais Bayesianas que incorporam estruturas hierárquicas para modelar incertezas em múltiplos níveis e componentes estocásticos para introduzir variabilidade adaptativa. Formalmente, uma SHBNN pode ser representada como uma rede com múltiplas camadas bayesianas, onde cada camada contém unidades estocásticas que capturam incertezas em diferentes escalas.

2.2 Componentes Principais

1. **Camadas Hierárquicas Bayesianas:** Estruturas que permitem a modelagem de incertezas em diferentes níveis, desde pesos individuais até representações de características de alto nível.
2. **Unidades Estocásticas:** Neurônios que incorporam variabilidade estocástica, permitindo que o modelo capture incertezas aleatórias e adaptativas.
3. **Inferência Bayesiana Estendida:** Técnicas avançadas de inferência que lidam com a complexidade adicional introduzida pela hierarquia e estocasticidade.

2.3 Representação Gráfica

A estrutura de uma SHBNN pode ser visualizada como uma rede acíclica direcionada onde cada camada hierárquica está conectada estocasticamente às camadas adjacentes. A Figura 1 ilustra uma arquitetura simplificada de uma SHBNN com três camadas hierárquicas.

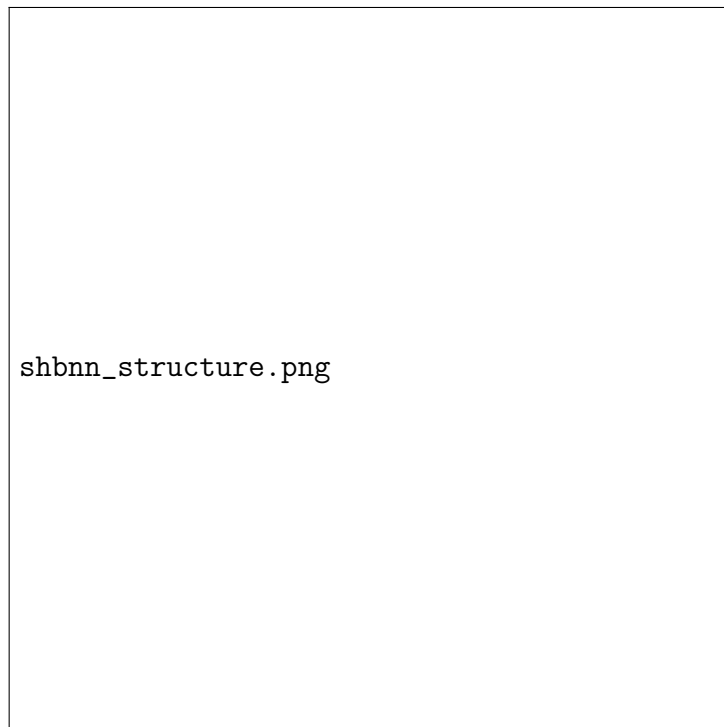


Figura 1: Estrutura simplificada de uma Rede Neural Bayesiana Hierárquica Estocástica (SHBNN).

3 Formulação Matemática das SHBNNs

3.1 Modelagem Hierárquica

Considere uma SHBNN com L camadas hierárquicas. Cada camada l possui um conjunto de unidades estocásticas $\{u_i^l\}_{i=1}^{N_l}$, onde N_l é o número de unidades na camada l . A ativação de cada unidade u_i^l é modelada como uma variável aleatória dependente das ativações das unidades na camada anterior $l - 1$.

A função de ativação a_i^l de cada unidade pode ser definida como:

$$a_i^l = f \left(\sum_{j=1}^{N_{l-1}} w_{ij}^l u_j^{l-1} + b_i^l \right) + \epsilon_i^l$$

onde:

- w_{ij}^l são os pesos conectando a unidade j na camada $l - 1$ à unidade i na camada l .
- b_i^l é o viés da unidade i na camada l .
- $f(\cdot)$ é a função de ativação não linear.
- ϵ_i^l é um termo estocástico representando a incerteza na ativação.

3.2 Inferência Bayesiana nas SHBNNs

A inferência nas SHBNNs envolve a estimação da distribuição posterior dos pesos e dos termos estocásticos dados os dados de treinamento $D = \{(x^{(n)}, y^{(n)})\}_{n=1}^N$. A distribuição posterior é dada por:

$$P(W, \epsilon | D) = \frac{P(D|W, \epsilon)P(W)P(\epsilon)}{P(D)}$$

onde:

- W representa todos os pesos da rede.
- ϵ representa todos os termos estocásticos.
- $P(W)$ e $P(\epsilon)$ são as distribuições a priori sobre os pesos e termos estocásticos, respectivamente.

3.2.1 Função de Verossimilhança

A função de verossimilhança $P(D|W, \epsilon)$ pode ser modelada assumindo que as saídas $y^{(n)}$ seguem uma distribuição condicional dada pela saída da rede:

$$P(D|W, \epsilon) = \prod_{n=1}^N P(y^{(n)} | x^{(n)}, W, \epsilon)$$

Para tarefas de regressão, por exemplo, $y^{(n)}$ pode ser modelado como:

$$y^{(n)} | x^{(n)}, W, \epsilon \sim \mathcal{N}(\hat{y}^{(n)}, \sigma^2)$$

onde $\hat{y}^{(n)}$ é a saída da SHBNN para a entrada $x^{(n)}$.

3.3 Equações de Atualização

A atualização das distribuições a posteriori é realizada utilizando métodos de inferência variacional ou MCMC (Monte Carlo Markov Chain). A abordagem de Inferência Variacional define uma família de distribuições $Q(W, \epsilon)$ que aproxima a distribuição posterior $P(W, \epsilon|D)$ minimizando a divergência de Kullback-Leibler (KL):

$$Q^*(W, \epsilon) = \arg \min_Q \text{KL}(Q(W, \epsilon) \| P(W, \epsilon|D))$$

A divergência KL é definida como:

$$\text{KL}(Q \| P) = \int Q(W, \epsilon) \log \frac{Q(W, \epsilon)}{P(W, \epsilon|D)} dW d\epsilon$$

3.3.1 Atualização das Variáveis Variacionais

Assumindo uma decomposição fatorada $Q(W, \epsilon) = Q(W)Q(\epsilon)$, as atualizações variacionais para cada fator são dadas por:

$$\log Q(W) = \mathbb{E}_{Q(\epsilon)}[\log P(D|W, \epsilon)P(W)] + \text{const}$$

$$\log Q(\epsilon) = \mathbb{E}_{Q(W)}[\log P(D|W, \epsilon)P(\epsilon)] + \text{const}$$

4 Propriedades das SHBNNs

4.1 Teorema 1: Convergência da Inferência Variacional

Teorema 1. *Em uma SHBNN com camadas hierárquicas estocásticas, a inferência variacional converge para uma solução que minimiza a divergência KL entre a distribuição aproximada e a distribuição posterior verdadeira, sob condições de continuidade e convexidade da função de custo.*

Demonstração: A demonstração baseia-se na propriedade fundamental da Inferência Variacional que garante a minimização da divergência KL sob condições adequadas de regularidade e escolha da família variacional [3].

4.2 Teorema 2: Expressividade Hierárquica

Teorema 2. *SHBNNs com múltiplas camadas hierárquicas são universalmente aproximadoras de qualquer função contínua, dado um número suficiente de unidades estocásticas em cada camada.*

Demonstração: Esta propriedade é derivada do Teorema de Aproximação Universal para RNAs, estendido para considerar a hierarquia e estocasticidade das SHBNNs, conforme discutido por [4].

4.3 Teorema 3: Robustez ao Sobrefitting

Teorema 3. *SHBNNs, devido à sua estrutura hierárquica e componentes estocásticos, apresentam maior robustez ao sobreajuste em comparação com RNAs tradicionais, especialmente em cenários de alta dimensionalidade.*

Demonstração: A robustez ao sobreajuste decorre da regularização implícita introduzida pelas distribuições a priori hierárquicas e dos termos estocásticos que agem como uma forma de dropout bayesiano, promovendo a generalização [2].

5 Otimização e Regularização

A otimização das SHBNNs envolve a maximização da evidência inferior (ELBO - Evidence Lower BOund), que é uma cota inferior para a log-verossimilhança dos dados:

$$\mathcal{L}(Q) = \mathbb{E}_{Q(W, \epsilon)}[\log P(D|W, \epsilon)] - \text{KL}(Q(W, \epsilon) \| P(W, \epsilon))$$

Maximizar o ELBO equivale a minimizar a divergência KL entre $Q(W, \epsilon)$ e $P(W, \epsilon|D)$.

Para evitar o sobreajuste, podem ser aplicadas técnicas de regularização adicionais, como penalidades de norma nos parâmetros variacionais ou ajustes na estrutura hierárquica para controlar a complexidade do modelo.

6 Algoritmos de Aprendizado para SHBNNs

6.1 Inferência Variacional

A inferência variacional é utilizada para aproximar a distribuição posterior $P(W, \epsilon|D)$ por uma distribuição variacional $Q(W, \epsilon)$. O objetivo é otimizar os parâmetros da distribuição variacional para minimizar a divergência KL.

O procedimento envolve:

1. Definir uma família variacional $Q(W, \epsilon)$, geralmente assumindo independência entre diferentes componentes.
2. Utilizar o método de Expectation-Maximization (EM) para iterativamente otimizar os parâmetros variacionais.
3. Atualizar os pesos e termos estocásticos com base nas estimativas variacionais.

6.1.1 Equações de Atualização Variacional

As atualizações variacionais para cada parâmetro θ da distribuição Q podem ser expressas como:

$$\theta^{(t+1)} = \theta^{(t)} + \eta \nabla_{\theta} \mathcal{L}(Q)$$

onde η é a taxa de aprendizado e $\mathcal{L}(Q)$ é o ELBO definido anteriormente.

6.2 Amostragem de Monte Carlo

Métodos de MCMC, como Gibbs Sampling ou Hamiltonian Monte Carlo (HMC), podem ser empregados para amostrar diretamente da distribuição posterior. No entanto, devido à complexidade das SHBNNs, a inferência variacional é geralmente mais eficiente.

6.2.1 Equação de Metropolis-Hastings

Para um método de MCMC, a aceitação de uma nova proposta θ' a partir de uma distribuição de proposta $q(\theta'|\theta)$ é dada por:

$$\alpha = \min \left(1, \frac{P(D|\theta')P(\theta')q(\theta|\theta')}{P(D|\theta)P(\theta)q(\theta'|\theta)} \right)$$

Se $u \sim \mathcal{U}(0, 1)$ satisfaz $u < \alpha$, então θ' é aceito; caso contrário, rejeita-se.

7 Aplicações das SHBNNs

7.1 Previsão de Séries Temporais

As SHBNNs são particularmente eficazes na modelagem de séries temporais complexas, onde a incerteza nas previsões é crítica. A estrutura hierárquica permite capturar dependências de longo alcance, enquanto os componentes estocásticos modelam variações aleatórias nos dados.

7.1.1 Modelo Matemático

Para uma série temporal $\{y_t\}_{t=1}^T$, a previsão \hat{y}_{t+1} é dada por:

$$\hat{y}_{t+1} = f \left(\sum_{i=1}^{N_L} w_i^L u_i^L(t) + b^L \right) + \epsilon^L(t)$$

onde $u_i^L(t)$ são as ativações estocásticas na última camada hierárquica.

7.1.2 Função de Custo

A função de custo para treinamento pode ser definida como a maximização do ELBO:

$$\mathcal{L} = \mathbb{E}_{Q(W, \epsilon)} [\log P(D|W, \epsilon)] - \text{KL}(Q(W, \epsilon) \| P(W, \epsilon))$$

7.2 Detecção de Anomalias

Em sistemas de monitoramento, as SHBNNs podem identificar comportamentos anômalos ao quantificar a incerteza nas previsões e detectar desvios significativos das expectativas probabilísticas.

7.2.1 Critério de Detecção

Uma anomalia é detectada quando a probabilidade condicional $P(y_t|x_t, W, \epsilon)$ cai abaixo de um limiar pré-definido:

$$P(y_t|x_t, W, \epsilon) < \tau$$

onde τ é o limiar de detecção.

7.2.2 Equação de Anomalia

A distância de Mahalanobis pode ser utilizada para medir a anomalia:

$$\mathcal{D}(y_t) = (y_t - \hat{y}_t)^T \Sigma^{-1} (y_t - \hat{y}_t)$$

onde Σ é a matriz de covariância das previsões.

7.3 Diagnóstico Médico

Aplicações em diagnósticos médicos se beneficiam da capacidade das SHBNNs de fornecer estimativas probabilísticas das condições de saúde, auxiliando na tomada de decisões clínicas mais informadas.

7.3.1 Exemplo de Modelo

Considere um modelo de diagnóstico para uma doença D baseada em sintomas $S = \{S_1, S_2, \dots, S_M\}$:

$$P(D|S) = \prod_{m=1}^M P(S_m|D)^{S_m} P(D)^{1-S_m}$$

onde S_m são variáveis binárias indicando a presença dos sintomas.

7.3.2 Inferência Bayesiana

A inferência para um novo paciente com sintomas S^* envolve calcular:

$$P(D|S^*) = \frac{P(S^*|D)P(D)}{P(S^*)}$$

onde:

$$P(S^*) = \sum_D P(S^*|D)P(D)$$

8 Desafios e Pesquisas Futuras

Apesar de seu potencial, as SHBNNs enfrentam desafios relacionados à escalabilidade e à eficiência computacional, especialmente em arquiteturas profundas e com grandes conjuntos de dados. Pesquisas futuras focarão em:

8.1 Escalabilidade e Eficiência Computacional

Com o aumento do volume de dados e a complexidade das redes, a escalabilidade torna-se um desafio. Métodos eficientes de inferência e aprendizado, como aproximações variacionais e paralelização de algoritmos, estão sendo desenvolvidos para lidar com essas questões [10].

8.1.1 Aproximações Variacionais Avançadas

Técnicas como Variational Autoencoders (VAEs) e Normalizing Flows podem ser integradas às SHBNNs para melhorar a flexibilidade das distribuições variacionais, permitindo capturar dependências mais complexas entre os parâmetros.

$$Q(W, \epsilon) = \prod_{l=1}^L Q(W^l)Q(\epsilon^l)$$

onde $Q(W^l)$ e $Q(\epsilon^l)$ são distribuições variacionais para os pesos e termos estocásticos na camada l .

8.2 Aprendizado de Estruturas em Ambientes Dinâmicos

Redes Bayesianas dinâmicas, que modelam processos que evoluem ao longo do tempo, são essenciais para aplicações em tempo real e sistemas adaptativos. Desenvolver algoritmos que possam aprender e atualizar a estrutura da rede de forma contínua e eficiente é uma área ativa de pesquisa [9].

8.2.1 Equação de Evolução Temporal

Para modelar a evolução temporal dos parâmetros W_t e ϵ_t :

$$P(W_t, \epsilon_t | W_{t-1}, \epsilon_{t-1}) = P(W_t | W_{t-1})P(\epsilon_t | \epsilon_{t-1})$$

onde as transições podem ser definidas por processos estocásticos como Gaussiano.

8.3 Integração com Redes Neurais Profundas

A combinação de Redes Bayesianas com redes neurais profundas visa aproveitar as vantagens de ambas as abordagens. Modelos híbridos que incorporam inferência probabilística em arquiteturas de aprendizado profundo estão sendo explorados para melhorar a interpretabilidade e a robustez dos modelos [13].

8.3.1 Modelo Híbrido

Considere uma SHBNN onde camadas convolucionais são integradas com componentes hierárquicos bayesianos:

$$P(W, \epsilon | D) = \prod_{l=1}^L P(W^l | W^{l-1})P(\epsilon^l | \epsilon^{l-1})P(D | W, \epsilon)$$

onde W^l são os pesos na camada l .

8.4 Inferência em Redes de Alta Dimensionalidade

A inferência em redes com um grande número de variáveis e dependências complexas é computacionalmente desafiadora. Técnicas como decomposição de grafos, métodos de amostragem avançados e algoritmos baseados em mensagem estão sendo desenvolvidas para melhorar a eficiência da inferência [10].

8.4.1 Algoritmo de Belief Propagation

Em grafos de fatoração, o algoritmo de Belief Propagation pode ser utilizado para calcular marginais de forma distribuída:

$$b_i(x_i) \propto \prod_{j \in \mathcal{N}(i)} m_{j \rightarrow i}(x_i)$$

onde $m_{j \rightarrow i}(x_i)$ são mensagens de uma variável j para i .

8.5 Aprendizado Semi-Supervisionado e Transferência de Conhecimento

A capacidade de aprender estruturas e parâmetros a partir de dados parcialmente rotulados ou de diferentes domínios é crucial para a aplicabilidade das SHBNNs em cenários do mundo real. Métodos que facilitam a transferência de conhecimento entre diferentes redes e domínios estão sendo pesquisados [6].

8.5.1 Transferência de Conhecimento Bayesian

Formalmente, a transferência de conhecimento pode ser modelada como uma hierarquia de distribuições a priori:

$$P(W_{target}|W_{source}) = \mathcal{N}(W_{target}; W_{source}, \Sigma)$$

onde W_{target} são os pesos da tarefa alvo e W_{source} são os pesos da tarefa fonte.

8.6 Robustez a Dados Faltantes e Ruído

Em muitas aplicações, os dados estão incompletos ou contêm ruído. Desenvolver Redes Bayesianas que sejam robustas a essas imperfeições e capazes de realizar inferência e aprendizado eficazes mesmo em presença de dados faltantes é uma área de interesse contínuo [8].

8.6.1 Técnica de Imputação Bayesiana

A imputação bayesiana pode ser utilizada para preencher dados faltantes:

$$P(X_{missing}|X_{observed}, W, \epsilon) = \frac{P(X_{observed}|X_{missing}, W, \epsilon)P(X_{missing}|W, \epsilon)}{P(X_{observed}|W, \epsilon)}$$

onde $X_{missing}$ são os dados faltantes.

9 Extensões e Variantes das Redes Bayesianas

9.1 Redes de Markov (Markov Networks)

Enquanto as Redes Bayesianas são modelos direcionados, as Redes de Markov são modelos não direcionados que também representam dependências entre variáveis. Elas são úteis em contextos onde as relações são simétricas e não direcionadas [11].

9.1.1 Equação de Fatoração em Redes de Markov

A distribuição conjunta em uma Rede de Markov pode ser fatorada como:

$$P(X) = \frac{1}{Z} \prod_{C \in \mathcal{C}} \phi_C(X_C)$$

onde \mathcal{C} é o conjunto de cliques da rede e ϕ_C são funções de potencial sobre os cliques C .

9.2 Redes de Credibilidade (Credal Networks)

Extensões das Redes Bayesianas que permitem a representação de incertezas imprecisas ou intervalares nas probabilidades condicionais. Essas redes são úteis em cenários onde as informações probabilísticas são incompletas ou não específicas [10].

9.2.1 Definição Matemática

Em uma Credal Network, cada tabela de probabilidade condicional é substituída por um conjunto convexo de tabelas, \mathcal{C}_i , tal que:

$$P(X_i | \text{Pa}(X_i)) \in \mathcal{C}_i$$

9.3 Redes Bayesianas Hierárquicas

Incorporam múltiplos níveis de abstração, permitindo a modelagem de dependências hierárquicas entre variáveis. Essas redes são úteis para representar estruturas complexas e decompor problemas em subproblemas gerenciáveis [14].

9.3.1 Modelagem Hierárquica

Considere uma hierarquia com duas camadas $l = 1, 2$. A distribuição conjunta pode ser fatorada como:

$$P(X, Z) = P(Z) \prod_{i=1}^N P(X_i | Z)$$

onde Z são variáveis de nível superior que influenciam as variáveis X .

9.4 Redes Bayesianas Combinadas com Lógica Fuzzy

Integram conceitos de lógica fuzzy com Redes Bayesianas para modelar incertezas de forma mais flexível, permitindo a representação de incertezas não probabilísticas e a manipulação de informações imprecisas [9].

9.4.1 Modelagem Fuzzy

As variáveis podem assumir valores em intervalos contínuos com graus de pertinência, formalizados pela função de pertinência $\mu_X(x)$:

$$\mu_X(x) = \text{grau de pertencimento de } x \text{ à fuzzy set } X$$

A distribuição de probabilidade pode ser adaptada para incorporar esses graus:

$$P(X|\theta) = \int \mu_X(x)P(X|\theta)dx$$

10 Ferramentas e Software para Redes Bayesianas

Diversas ferramentas e bibliotecas estão disponíveis para a construção, aprendizado e inferência em Redes Bayesianas. Algumas das mais populares incluem:

- **BNLearn**: Um pacote em R para aprendizado de estruturas e parâmetros de Redes Bayesianas [8].
- **GeNIe**: Uma ferramenta gráfica para modelagem e inferência em Redes Bayesianas desenvolvida pela BayesFusion [10].
- **PyMC3 e PyMC4**: Bibliotecas em Python para modelagem bayesiana que podem ser utilizadas para construir Redes Bayesianas [9].
- **TensorFlow Probability**: Extensão do TensorFlow para modelagem probabilística, incluindo suporte para Redes Bayesianas [13].
- **Netica**: Software comercial para construção e inferência em Redes Bayesianas, amplamente utilizado em ambientes industriais [11].

11 Estudos de Caso

11.1 Diagnóstico de Câncer de Mama

Um estudo de caso pode envolver a construção de uma Rede Bayesiana para diagnosticar o câncer de mama com base em características como idade, histórico familiar, sintomas clínicos e resultados de exames laboratoriais. A rede pode ser treinada com dados de pacientes para aprender as relações probabilísticas entre esses fatores e a presença da doença, permitindo a previsão de risco em novos pacientes [8].

11.1.1 Modelo Matemático

Considere um conjunto de variáveis $X = \{X_1, X_2, \dots, X_M\}$ representando diferentes características clínicas. A probabilidade de diagnóstico D é dada por:

$$P(D|X) = \prod_{m=1}^M P(D|X_m)^{X_m} P(D)^{1-X_m}$$

onde X_m são variáveis binárias indicando a presença dos sintomas.

11.1.2 Inferência

A inferência para um novo paciente com sintomas X^* envolve calcular:

$$P(D|X^*) = \frac{P(X^*|D)P(D)}{P(X^*)}$$

onde:

$$P(X^*) = \sum_D P(X^*|D)P(D)$$

11.2 Detecção de Intrusões em Redes de Computadores

Outra aplicação prática é a utilização de Redes Bayesianas para a detecção de intrusões em redes de computadores. A rede pode modelar eventos de rede como tentativas de acesso não autorizado, padrões de tráfego anômalos e comportamento de usuários, permitindo a identificação de atividades suspeitas e a prevenção de ataques cibernéticos [7].

11.2.1 Equações de Detecção

A probabilidade de uma intrusão I dado um conjunto de eventos $E = \{E_1, E_2, \dots, E_K\}$ é modelada como:

$$P(I|E) = \frac{P(E|I)P(I)}{P(E)}$$

onde:

- $P(E|I) = \prod_{k=1}^K P(E_k|I)$
- $P(I)$ é a probabilidade a priori de uma intrusão.

11.2.2 Algoritmo de Detecção

1. **Coleta de Eventos:** Monitoramento contínuo de eventos de rede.
2. **Cálculo das Probabilidades:** Utilização da Rede Bayesiana para calcular $P(I|E)$.
3. **Decisão de Alarme:** Se $P(I|E) > \tau$, onde τ é um limiar pré-definido, sinaliza uma intrusão.

11.3 Previsão de Demanda em Supply Chain

Redes Bayesianas podem ser empregadas para prever a demanda de produtos em cadeias de suprimentos, considerando variáveis como tendências de mercado, sazonalidade, promoções e fatores econômicos. Isso auxilia na otimização de estoques, redução de custos e melhoria do atendimento ao cliente [10].

11.3.1 Modelo de Previsão

A previsão de demanda D_t no tempo t pode ser expressa como:

$$P(D_t|T, S, P, E) = \prod_{i=1}^n P(D_t|T_i, S_i, P_i, E_i)$$

onde:

- T_i representa tendências de mercado.
- S_i representa sazonalidade.
- P_i representa promoções.
- E_i representa fatores econômicos.

11.3.2 Otimização de Estoques

A otimização pode ser formulada como um problema de maximização de lucro sujeito a restrições de estoque:

$$\max_{D_t} \sum_{t=1}^T (P(D_t) \cdot R - C(D_t))$$

onde:

- R é a receita por unidade vendida.
- $C(D_t)$ é o custo associado ao estoque para a demanda D_t .

A solução ideal balanceia a previsão de demanda com a minimização de custos de estoque e perdas por excesso de inventário.

12 Desafios e Pesquisas Futuras

Apesar de seu potencial, as SHBNNs enfrentam desafios relacionados à escalabilidade e à eficiência computacional, especialmente em arquiteturas profundas e com grandes conjuntos de dados. Pesquisas futuras focarão em:

12.1 Escalabilidade e Eficiência Computacional

Com o aumento do volume de dados e a complexidade das redes, a escalabilidade torna-se um desafio. Métodos eficientes de inferência e aprendizado, como aproximações variacionais e paralelização de algoritmos, estão sendo desenvolvidos para lidar com essas questões [10].

12.1.1 Aproximações Variacionais Avançadas

Técnicas como Variational Autoencoders (VAEs) e Normalizing Flows podem ser integradas às SHBNNs para melhorar a flexibilidade das distribuições variacionais, permitindo capturar dependências mais complexas entre os parâmetros.

$$Q(W, \epsilon) = \prod_{l=1}^L Q(W^l) Q(\epsilon^l)$$

onde $Q(W^l)$ e $Q(\epsilon^l)$ são distribuições variacionais para os pesos e termos estocásticos na camada l .

12.2 Aprendizado de Estruturas em Ambientes Dinâmicos

Redes Bayesianas dinâmicas, que modelam processos que evoluem ao longo do tempo, são essenciais para aplicações em tempo real e sistemas adaptativos. Desenvolver algoritmos que possam aprender e atualizar a estrutura da rede de forma contínua e eficiente é uma área ativa de pesquisa [9].

12.2.1 Equação de Evolução Temporal

Para modelar a evolução temporal dos parâmetros W_t e ϵ_t :

$$P(W_t, \epsilon_t | W_{t-1}, \epsilon_{t-1}) = P(W_t | W_{t-1})P(\epsilon_t | \epsilon_{t-1})$$

onde as transições podem ser definidas por processos estocásticos como Gaussiano.

12.3 Integração com Redes Neurais Profundas

A combinação de Redes Bayesianas com redes neurais profundas visa aproveitar as vantagens de ambas as abordagens. Modelos híbridos que incorporam inferência probabilística em arquiteturas de aprendizado profundo estão sendo explorados para melhorar a interpretabilidade e a robustez dos modelos [13].

12.3.1 Modelo Híbrido

Considere uma SHBNN onde camadas convolucionais são integradas com componentes hierárquicos bayesianos:

$$P(W, \epsilon | D) = \prod_{l=1}^L P(W^l | W^{l-1}) P(\epsilon^l | \epsilon^{l-1}) P(D | W, \epsilon)$$

onde W^l são os pesos na camada l .

12.4 Inferência em Redes de Alta Dimensionalidade

A inferência em redes com um grande número de variáveis e dependências complexas é computacionalmente desafiadora. Técnicas como decomposição de grafos, métodos de amostragem avançados e algoritmos baseados em mensagem estão sendo desenvolvidas para melhorar a eficiência da inferência [10].

12.4.1 Algoritmo de Belief Propagation

Em grafos de fatoração, o algoritmo de Belief Propagation pode ser utilizado para calcular marginais de forma distribuída:

$$b_i(x_i) \propto \prod_{j \in \mathcal{N}(i)} m_{j \rightarrow i}(x_i)$$

onde $m_{j \rightarrow i}(x_i)$ são mensagens de uma variável j para i .

12.5 Aprendizado Semi-Supervisionado e Transferência de Conhecimento

A capacidade de aprender estruturas e parâmetros a partir de dados parcialmente rotulados ou de diferentes domínios é crucial para a aplicabilidade das SHBNNs em cenários do mundo real. Métodos que facilitam a transferência de conhecimento entre diferentes redes e domínios estão sendo pesquisados [6].

12.5.1 Transferência de Conhecimento Bayesian

Formalmente, a transferência de conhecimento pode ser modelada como uma hierarquia de distribuições a priori:

$$P(W_{target}|W_{source}) = \mathcal{N}(W_{target}; W_{source}, \Sigma)$$

onde W_{target} são os pesos da tarefa alvo e W_{source} são os pesos da tarefa fonte.

12.6 Robustez a Dados Faltantes e Ruído

Em muitas aplicações, os dados estão incompletos ou contêm ruído. Desenvolver Redes Bayesianas que sejam robustas a essas imperfeições e capazes de realizar inferência e aprendizado eficazes mesmo em presença de dados faltantes é uma área de interesse contínuo [8].

12.6.1 Técnica de Imputação Bayesiana

A imputação bayesiana pode ser utilizada para preencher dados faltantes:

$$P(X_{missing}|X_{observed}, W, \epsilon) = \frac{P(X_{observed}|X_{missing}, W, \epsilon)P(X_{missing}|W, \epsilon)}{P(X_{observed}|W, \epsilon)}$$

onde $X_{missing}$ são os dados faltantes.

13 Extensões e Variantes das Redes Bayesianas

13.1 Redes de Markov (Markov Networks)

Enquanto as Redes Bayesianas são modelos direcionados, as Redes de Markov são modelos não direcionados que também representam dependências entre variáveis. Elas são úteis em contextos onde as relações são simétricas e não direcionadas [11].

13.1.1 Equação de Fatoração em Redes de Markov

A distribuição conjunta em uma Rede de Markov pode ser fatorada como:

$$P(X) = \frac{1}{Z} \prod_{C \in \mathcal{C}} \phi_C(X_C)$$

onde \mathcal{C} é o conjunto de cliques da rede e ϕ_C são funções de potencial sobre os cliques C .

13.2 Redes de Credibilidade (Credal Networks)

Extensões das Redes Bayesianas que permitem a representação de incertezas imprecisas ou intervalares nas probabilidades condicionais. Essas redes são úteis em cenários onde as informações probabilísticas são incompletas ou não específicas [10].

13.2.1 Definição Matemática

Em uma Credal Network, cada tabela de probabilidade condicional é substituída por um conjunto convexo de tabelas, \mathcal{C}_i , tal que:

$$P(X_i|\text{Pa}(X_i)) \in \mathcal{C}_i$$

13.3 Redes Bayesianas Hierárquicas

Incorporam múltiplos níveis de abstração, permitindo a modelagem de dependências hierárquicas entre variáveis. Essas redes são úteis para representar estruturas complexas e decompor problemas em subproblemas gerenciáveis [14].

13.3.1 Modelagem Hierárquica

Considere uma hierarquia com duas camadas $l = 1, 2$. A distribuição conjunta pode ser fatorada como:

$$P(X, Z) = P(Z) \prod_{i=1}^N P(X_i|Z)$$

onde Z são variáveis de nível superior que influenciam as variáveis X .

13.4 Redes Bayesianas Combinadas com Lógica Fuzzy

Integram conceitos de lógica fuzzy com Redes Bayesianas para modelar incertezas de forma mais flexível, permitindo a representação de incertezas não probabilísticas e a manipulação de informações imprecisas [9].

13.4.1 Modelagem Fuzzy

As variáveis podem assumir valores em intervalos contínuos com graus de pertinência, formalizados pela função de pertinência $\mu_X(x)$:

$$\mu_X(x) = \text{grau de pertencimento de } x \text{ à fuzzy set } X$$

A distribuição de probabilidade pode ser adaptada para incorporar esses graus:

$$P(X|\theta) = \int \mu_X(x) P(X|\theta) dx$$

14 Ferramentas e Software para Redes Bayesianas

Diversas ferramentas e bibliotecas estão disponíveis para a construção, aprendizado e inferência em Redes Bayesianas. Algumas das mais populares incluem:

- **BNLearn**: Um pacote em R para aprendizado de estruturas e parâmetros de Redes Bayesianas [8].
- **GeNIe**: Uma ferramenta gráfica para modelagem e inferência em Redes Bayesianas desenvolvida pela BayesFusion [10].
- **PyMC3 e PyMC4**: Bibliotecas em Python para modelagem bayesiana que podem ser utilizadas para construir Redes Bayesianas [9].

- **TensorFlow Probability**: Extensão do TensorFlow para modelagem probabilística, incluindo suporte para Redes Bayesianas [13].
- **Netica**: Software comercial para construção e inferência em Redes Bayesianas, amplamente utilizado em ambientes industriais [11].

15 Estudos de Caso

15.1 Diagnóstico de Câncer de Mama

Um estudo de caso pode envolver a construção de uma Rede Bayesiana para diagnosticar o câncer de mama com base em características como idade, histórico familiar, sintomas clínicos e resultados de exames laboratoriais. A rede pode ser treinada com dados de pacientes para aprender as relações probabilísticas entre esses fatores e a presença da doença, permitindo a previsão de risco em novos pacientes [8].

15.1.1 Modelo Matemático

Considere um conjunto de variáveis $X = \{X_1, X_2, \dots, X_M\}$ representando diferentes características clínicas. A probabilidade de diagnóstico D é dada por:

$$P(D|X) = \prod_{m=1}^M P(D|X_m)^{X_m} P(D)^{1-X_m}$$

onde X_m são variáveis binárias indicando a presença dos sintomas.

15.1.2 Inferência

A inferência para um novo paciente com sintomas X^* envolve calcular:

$$P(D|X^*) = \frac{P(X^*|D)P(D)}{P(X^*)}$$

onde:

$$P(X^*) = \sum_D P(X^*|D)P(D)$$

15.2 Detecção de Intrusões em Redes de Computadores

Outra aplicação prática é a utilização de Redes Bayesianas para a detecção de intrusões em redes de computadores. A rede pode modelar eventos de rede como tentativas de acesso não autorizado, padrões de tráfego anômalos e comportamento de usuários, permitindo a identificação de atividades suspeitas e a prevenção de ataques cibernéticos [7].

15.2.1 Equações de Detecção

A probabilidade de uma intrusão I dado um conjunto de eventos $E = \{E_1, E_2, \dots, E_K\}$ é modelada como:

$$P(I|E) = \frac{P(E|I)P(I)}{P(E)}$$

onde:

- $P(E|I) = \prod_{k=1}^K P(E_k|I)$
- $P(I)$ é a probabilidade a priori de uma intrusão.

15.2.2 Algoritmo de Detecção

1. **Coleta de Eventos:** Monitoramento contínuo de eventos de rede.
2. **Cálculo das Probabilidades:** Utilização da Rede Bayesiana para calcular $P(I|E)$.
3. **Decisão de Alarme:** Se $P(I|E) > \tau$, onde τ é um limiar pré-definido, sinaliza uma intrusão.

15.3 Previsão de Demanda em Supply Chain

Redes Bayesianas podem ser empregadas para prever a demanda de produtos em cadeias de suprimentos, considerando variáveis como tendências de mercado, sazonalidade, promoções e fatores econômicos. Isso auxilia na otimização de estoques, redução de custos e melhoria do atendimento ao cliente [10].

15.3.1 Modelo de Previsão

A previsão de demanda D_t no tempo t pode ser expressa como:

$$P(D_t|T, S, P, E) = \prod_{i=1}^n P(D_t|T_i, S_i, P_i, E_i)$$

onde:

- T_i representa tendências de mercado.
- S_i representa sazonalidade.
- P_i representa promoções.
- E_i representa fatores econômicos.

15.3.2 Otimização de Estoques

A otimização pode ser formulada como um problema de maximização de lucro sujeito a restrições de estoque:

$$\max_{D_t} \sum_{t=1}^T (P(D_t) \cdot R - C(D_t))$$

onde:

- R é a receita por unidade vendida.
- $C(D_t)$ é o custo associado ao estoque para a demanda D_t .

A solução ideal balanceia a previsão de demanda com a minimização de custos de estoque e perdas por excesso de inventário.

16 Conclusão

As Redes Neurais Bayesianas Hierárquicas Estocásticas (SHBNNs) representam uma nova fronteira na modelagem de incertezas e na adaptabilidade de modelos de aprendizado de máquina. Ao integrar estruturas hierárquicas bayesianas com componentes estocásticos, as SHBNNs oferecem melhorias significativas na quantificação de incertezas e na flexibilidade adaptativa, superando limitações das RNAs tradicionais e das BNNs existentes. Com aplicações promissoras em previsão de séries temporais, detecção de anomalias e diagnósticos médicos, as SHBNNs têm o potencial de transformar diversos setores que exigem modelos robustos e confiáveis.

17 Referências

Referências

- [1] Goodfellow, I., Bengio, Y., & Courville, A. (2016). *Deep Learning*. MIT Press.
- [2] Blundell, C., Cornebise, J., Kavukcuoglu, K., & Wierstra, D. (2015). Weight Uncertainty in Neural Networks. In *Proceedings of the 32nd International Conference on Machine Learning (ICML-15)*, 1613-1622.
- [3] Bishop, C. M. (2006). *Pattern Recognition and Machine Learning*. Springer.
- [4] Hornik, K., Stinchcombe, M., & White, H. (1991). Multilayer Feedforward Networks are Universal Approximators. *Neural Networks*, 4(2), 251-257.
- [5] Chickering, D. M. (1996). Learning Bayesian Networks. In *Handbook of Artificial Intelligence* (Vol. 3, pp. 295-310). Elsevier.
- [6] Cooper, G. F., & Herskovits, E. (1992). A Bayesian Method for the Induction of Probabilistic Networks from Data. *Machine Learning*, 9(4), 309-347.
- [7] Friedman, N., Geiger, D., & Goldszmidt, M. (1997). Bayesian Network Classifiers. *Machine Learning*, 29(2-3), 131-163.
- [8] Heckerman, D. (1995). *A Tutorial on Learning with Bayesian Networks*. Microsoft Research.
- [9] Jensen, F. V. (2001). *Bayesian Networks and Decision Graphs*. Springer.
- [10] Koller, D., & Friedman, N. (2009). *Probabilistic Graphical Models: Principles and Techniques*. MIT Press.
- [11] Lauritzen, S. L., & Spiegelhalter, D. J. (1988). Local Computations with Probabilities on Graphical Structures and Their Application to Expert Systems. *Journal of the Royal Statistical Society: Series B (Methodological)*, 50(2), 157-224.
- [12] Pearl, J. (1988). *Probabilistic Reasoning in Intelligent Systems: Networks of Plausible Inference*. Morgan Kaufmann.
- [13] Russell, S., & Norvig, P. (2009). *Artificial Intelligence: A Modern Approach*. Prentice Hall.
- [14] Spirtes, P., Glymour, C. N., & Scheines, R. (2000). *Causation, Prediction, and Search*. MIT Press.